

오픈 슬릿을 가진 선형 유도 전동기의 특성연구

유 수엽, 강명섭
호서 대학교, 벤처 대학원

A Study of Cylindrical Linear Induction Motor with Open Slit

Soo-Yeub Yoo, MyungBub Kang
Graduate School of Venture of Hoseo University

Abstract - 원통 모양의 선형 유도 전동기를 구성하고 코일의 밖에 위치한 코일에 전류가 유도되며 이때 코일의 축방향과 이에 수직인 방향으로 힘이 유도되며, 이때 힘의 특성이 유도 전동기의 특성을 지님을 밝혀 내었다. 이 힘은 두 코일의 축이 어긋나서 생기는 힘과, 드라이브 코일의 open slit의 정도에 따라 다른 것을 밝혔다.

코일에 전류를 유도하며 이 전류는 다시 일차측코일의 전류와 결합한 힘을 만들어 내는데 이 힘이 코일의 진행 방향의 힘과 반경 방향으로 형성되므로, 이 힘이 결려된 부분은 그 반경 방향이 없으므로 코일은 진행과 함께 편 축을 만드는 하는 힘이 구성된다.

1. 서 론

원통형의 유도 전동기는 우주개발 및 군사목적의 EML(Electromagnetic launcher)로 개발되어 왔다. 이 전동기의 특징은 이차 코일을 코일의 내부에 위치하고 외부의 원통형 코일이 전류를 유도하여 내부의 코일에 전류 및 힘을 유도한다는 특징이 있다. 이 형태의 전동기는 내부 코일의 크기에 제한이 있고 그 이용에 한계가 있다. 이 제한을 벗어나는 방법중의 하나는 코일의 위치를 바꾸는 것이다. 즉 이차 코일을 원통형의 드라이브 코일의 외부에 위치하는 형태가 된다. 이때 외부의 원통형 코일에 일정한 각도의 열림각을 갖게하면 드라이브 코일에 전력을 공급하는 문제가 해결 될 것이다. 이 형태의 전동기를 구성하면 몇가지 새로운 사실이 나타난다. 즉 기존의 선형 전동기에서 없던 편축에 의한 힘과, 오픈 각도에 의한 힘이 존재한다는 것이다. 이 논문에서는 간단한 모델을 통하여 유도전동기의 특성을 조사하고, 진행방향으로 힘과, 열림각에 의한 힘을 조사하였다.

2. 본 론

2.1 시스템 개요

전동기의 형태는 그림 2.1 과 같은 형태의 형상을 지닌다.

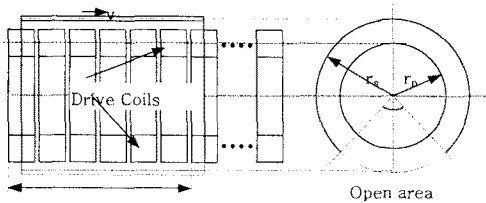


그림 2.1 제시된 선형 유도 전동기의 형태

이 전동기의 이차코일에는 drive coil에서 제공하는 진행파형태의 자장에 의하여 전류가 유도된다. 즉 이 전동기는 드라이브코일에 의하여 자장 및 이차 전류가 제공되는 유도 전동기의 형태를 가졌다. 이때 드라이브 코일이 만드는 기본진행파의 전류는 드라이브 코일 주변에 진행파형태의 자계를 형성하고 이 자계는 이차측의

2.1.1 모델링

드라이브 코일의 형태는 절연된 전선을 적층하여 구성한다. 이 드라이브 코일은 일정한 두께를 가진 형태로 이를 수학적으로 다루기 쉬운 형태로 다루기 위하여 드라이브 코일의 적당한 반경의⁽¹⁾ 판 형태의 전류로 간략화 하였다. 이 전류는 식 2.1의 phaser의 형태로 표시될 수 있다.

$$\underline{K}_{pm}(t, z) = \text{Re}(\underline{k}_{pm, \text{max}} e^{j(\omega t - \beta z - \varphi_1)}) = \text{Re}\{\sqrt{2} \underline{K}_{pm} e^{j(\omega t - \beta z)}\} \quad 2-1$$

여기서 \underline{K}_{pm} 은 phase 형태로 나타낸 드라이브 코일의 전류이다. ω 는 드라이브 코일에 여기되는 전류의 각주파수이며, β 는 wave number이며, 이 β 는 폴피

치 τ 와 는 진행파의 속도 v_s 와 는 $v_s = 2 \cdot \tau \cdot f = \frac{\tau \cdot \omega}{\pi} = \frac{\omega}{\beta}$ 관계가 있다. 이 전류에 의하여 드라이브 코일 주변의 자계의 형태를 관측하기 위하여 마그네틱 벡터 포텐셜을 구하려면 식 2.2 와 같이 나타내진다.

$$\bar{A}_{\varphi, pl} = \begin{cases} \mu_0 K_p r_p I_1(\beta r_p) K_1(\beta r) \hat{a}_\varphi & r_p \leq r \leq \infty \\ \mu_0 K_p r_p K_1(\beta r_p) I_1(\beta r) \hat{a}_\varphi & 0 \leq r \leq r_p \end{cases} \quad 2-2$$

이식의 μ 는 투자율이며 K_p 는 드라이브 코일의 전류를 판형태의 전류로 등가전류로 나타낸 것이다. 이식의 K_1, I_1 는 1차 베셀 함수이다. 이 마그네틱 벡터포텐셜은 전류의 방향과 같은 형태의 방향이므로 이 벡터 포텐셜로 드라이브 코일과 같은 방향의 벡터방향을 가진다. 마찬가지로 2차 코일은 2-2와 유사한 형태를 가지나 도체에 흐르는 전류와 열려있는 코일의 slit의 영향을 고려하면 이차 코일의 전류에 의한 벡터포텐셜의 기본 차수는 푸리에 급수에 의하여 구하면

$$\bar{A}_{\varphi, \sigma} = \begin{cases} \mu_0 \frac{2\pi - \alpha}{2\pi} k_s r_s I_1(\beta r_s) K_1(\beta r) \hat{a}_\varphi & r_s \leq r \leq \infty \\ \mu_0 \frac{2\pi - \alpha}{2\pi} k_s r_s K_1(\beta r_s) I_1(\beta r) \hat{a}_\varphi & 0 \leq r \leq r_s \end{cases} \quad 2-3$$

이다. 이 식의 α 는 이차측 코일 즉 sleeve의 열려있는 각이다.

이차 코일의 유도 전류는 일차코일의 진행파와 이차 코일의 속도가 0이 아닌 상대적인 속도가 있을때 이차

코일에 유도된다. 이 전류의 크기는 옴의 법칙에 의하여 식 2-4에 의하여 구해진다.

$$\vec{K}_s = \alpha_s \gamma_s (\vec{E}_s + \vec{v}_s \times \vec{B}_s) \quad 2-4$$

여기에는 이차코일의 일체형의 도체일 경우 두께이며, γ_s 는 2차 코일의 도체의 전도상수(conductivity)이다. \vec{E}_s 와 \vec{B}_s 는 전계와 자계의 세기이며 아래 첨자는 그 전계의 벡터방향을 나타낸다. 이때 속도의 표시인 \vec{v}_s 는 이차 코일과 일차코일과의 상대속도이다.

이 전동기의 경우에는 기본 파에 대하여 식 2-2와 2-3의 관계식에서 자계의 벡터포텐셜을 구하였으므로 이식을 이용하여 2-4식에서 2차측의 전류를 구할 수 있다. 즉 $\vec{E}_s = -\frac{\partial}{\partial t} \vec{A}_s = -j\omega \vec{A}_s$, $\vec{B}_s = -\frac{\partial}{\partial z} \vec{A}_s = j\beta \vec{A}_s$ 의 관계와

유도 전동기에서 사용하는 slip상수인 $s = \frac{v_s - v_r}{v_s}$ 를 도입하면 2-4식은

$$K_s \cdot \vec{a}_s = -j\beta \alpha_s \gamma_s v_s \left[\begin{array}{l} K_{p1} r_p I_1(\beta r_p) K_1(\beta r_s) \\ + \frac{2\pi - \alpha}{2\pi} K_s r_s I_1(\beta r_s) K_1(\beta r_s) \end{array} \right] \vec{a}_s \quad 2-5$$

이다. 이 식을 1차측의 전류에 의하여 2차측에 유도되는 전류의 식으로 구하면

$$K_s \cdot \vec{a}_s = \frac{-s}{\sqrt{s^2 + s_c^2}} \frac{2\pi}{2\pi - \alpha} \frac{r_p I_1(\beta r_p)}{r_s I_1(\beta r_s)} K_p \cdot \vec{a}_p \angle \varphi \quad 2-6$$

가 된다. 이 식의 $\varphi = \tan^{-1} \frac{s_c}{s}$ 는 1차측의 전류와 2차측의 전류의 위상각을 말하며 s_c 는 임계상수로

$$s_c = \frac{2\pi}{(2\pi - \alpha) \mu_0 \alpha_s \gamma_s v_s \beta r_s K_1(\beta r_s) I_1(\beta r_s)} \quad 2-7$$

의 관계를 가지고 있다.

2.2 전동기의 특성

이상의 모델링에서 원통의 내외부에 삽입된 도체와 코일간에는 유도 전동기의 형태로 구성됨을 보여주었다. 이 전동기의 과도기적 형태는 매우 복잡하고 이 전동기 모델로는 해결하기에 무리가 있어 여기서는 정상상태의 특성만 구하여 보기로 한다.

원통형 전동기의 축방향으로 힘은 축의 방사상의 형태의 자계에 의하여 힘이 구성된다. 따라서 이 자속의 방향을 구하면

$$\vec{B}_s = j\beta(\vec{A}_{s1} + \vec{A}_{s2}) \quad 2-8$$

로 된다. 이 관계식과 선형모델에서 구한 2차측전류를 이용하여 축방향의 힘을 구하면

$$F_{z1} = \frac{2\pi}{2\pi - \alpha} \frac{\mu_0 \beta_p^2 I_1^2(\beta r_p) K_1(\beta r_s)}{r_s I_1(\beta r_s) [\frac{1}{s} + \frac{1}{s_c}]} K_{p1}^2 \quad 2-9$$

의 관계식이 된다. 여기에 힘의 아래첨자 1은 이 힘은 기본진행파에 의한 크기를 말한다. 이 힘의 크기는 βr_s

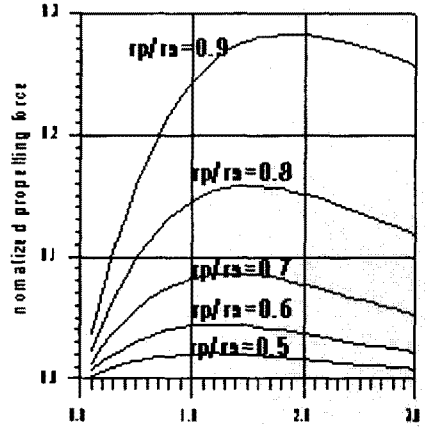


그림 2.2 진행방향으로 힘의 크기 ($F_{zmax} / (K_{p1}^2/2)$:normalized force)

형태가 된다. 이 관계식은 선형 유도 전동기의 설계에 필요한 상수를 구하기 위한 그래프로 전동기의 드라이브 코일의 반경과 2차측 코일의 반경, 폴 간격거리등을 결정하는 지표를 구하는데 필요한 그림이다. 즉 진행방향으로 최대 힘을 구하려면 적당한 폴피치는 2차측 코일과 1차측 코일의 유사 반경비와 관계한다는 관계를 가지고 설계해야 한다.

이 선형 유도전동기는 이 축 방향의 힘 이외의 축의 방사형의 힘이 발생된다. 이 힘의 역시 모델링된 형태의 전동기관계식에서 구할 수 있다. 이 힘의 크기는

$$f_{r1} = \frac{2\pi}{2\pi - \alpha} \frac{s^2}{s^2 + s_c^2} \frac{\beta_p^2 I_1^2(\beta r_p)}{r_s I_1(\beta r_s)} K_0(\beta r_s) K_{p1}^2 \quad 2-10$$

로 구하여 진다. 이 관계식에서 힘의 크기를 단위힘의 크기로 단순화한 형태로 구해보면 그림 2-3 과 같은 관계식이 된다.

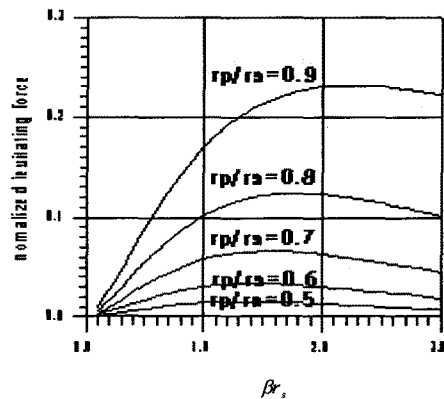


그림 2.3 축방향으로 힘의 크기 오픈각은 90° ($\frac{2\pi - \alpha}{2\sin(\alpha/2)} \frac{f_{rmax}}{4\mu_0 K_{p1max}^2}$:normalized force)

이 그림 2.2와 2.3을 참조하여 전동기의 설계를 하면 축방향이나 그 직각방향으로 특성이 다른 형태의전동기

를 구성 할 수 있다.

이상의 특성은 전동기의 디자인에 필요한 상수를 구하는데 필요한 고찰이다. 이때 두 힘(축방향과 그 직각 방향)의 관계를 고찰하면 그림 2-4 와 같은 형태의 특성을 구할 수 있다.

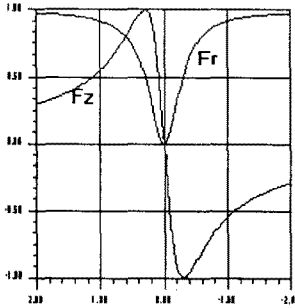


그림 2.4 슬릿과 슬리브에 유도되는 힘의 관계 (SC = 0.3)

2.2.1 실험

이 기기의 실험은 2가지에 걸쳐 이루어 졌다. 그 첫번째는 Open Slit이 가지는 유도식이 실제 값과 같은지 검증하는 단계이고 이를 바탕으로 전동기를 구성하여 실제로 구동될때 힘을 측정하는 구성을 가졌다.

Open 각도가 가지는 영향은 두 코일간의 상호인덕턴스를 측정하여 위 식을 검증할 수 있다. 즉 위식에서 유도된 전류의 양은 일차측 코일과 이차측 코일과의 인덕턴스에 의하여 유도되는 관계를 가진다. 따라서 이 관계를 이용하여 수식들을 검증할 수 있다. 이 오픈 슬릿의 경우 1차측과 2차측의 코일을 그림 2-5와 같이 가는 전선을 이용하여 구성 할 수 있다. 이 구성에서 두 코일의 축이 일치시키고 원형의 코일에 전류를 가하고 부채형태의 코일에 유기된 전압을 구하면 부채살에 유기된 전류는 검은 실선에만 전압이 유기됨을 알 수 있다. 즉 이 회로에서 유효한 길이는 부채살 형태의 외곽의 전선이다. 따라서 이 부채살의 각도를 조절하면서 유기되는 전압을 측정하여보면 외곽의 각도에만 비례한다. 따라서 식 2-2와 2-3에 대한 검증을 수행할 수 있다.

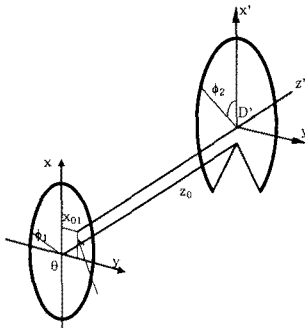


그림 2.5. 코일의 오픈 각도에 비례한 상호인덕턴스 측정방법

일반적으로 유도전동기의 실험은 블록 테스트로 많은 전동기의 특성을 추출할 수 있다. 이 전동기의 슬리브를 고정시켰을때 두가지 힘이 혼재한 힘이 슬리브에 유도 된다. 이 힘의 비율이 측정이나 설계조건에 따라 그 비율이 크고 또 드라이브 코일에 상용 주파수를 가하는 경우 이 전류의 진동이나 축의 이축이나 슬리브와 드라

이브간의 축의 각도등 여러 요인에 의하여 실험에 오차를 불러온다. 특히 축 방향의 힘은 충분히 큰 반면 그에 직각인 방향은 그리 크지 않은 경우가 대부분의 경우이다. 이를 고려하여 축방향의 직각 방향의 힘은 진행파의 변형의 형태의 진행파를 구성하여 실험한다. 즉 두개의 진행파가 서로 반대방향으로 진행하며, 그 크기와 파속이 같다면 그 진행파는 정지된파 (Standing wave)의 형태를 지니게 된다. 이 경우 슬리브에 유도되는 전류와 드라이브코일의 전류관계는 2개의 전동기가 서로 반대로 돌리는 형상이 된다. 이때 축에 직각 방향의 힘은 서로 힘이 합한 2배의 힘이 측정되며, 축방향의 힘은 서로 상쇄되어 나타난다. 따서 이를 이용하면 축에 직각인 방향의 힘의 측정이 용이하다.

3. 결 론

선형 유도 전동기를 설계하여 보았다. 이 전동기는 에어 코어 형태의 전동기로 순간 파워를 내기에 적합한 장치로 이차 코일을 오픈 시켜 코일 외곽에 설치한 형태이다. 이 구조는 축방향의 힘 이외에 축에 직각의 방향으로 힘이 발생된다. 이 힘을 이용하여 자기부상열차나 자기 부상 슬랫을 개발할 수 있다. 이 선형 전동기의 이용을 적절히 하면 기존의 압축공기로 구현하던 구내 서류 이동을 구현하는 등 여러 응용이 기대된다.

(참 고 문 헌)

- [1] F. W. Grover, " Inductance Calculations", D. Van Nostrand company, Inc. . 1946
- [2] Zivan Zabar, "Behavior of Azimuthal Currents Induced in the Projectile of the Linear Induction Launcher (LIL)" IEEE Trans. on Magnetics, Vol. 29, No. 1, pp 696-700, January 1993 (with X.N. Lu, E. Levi and L. Birenbaum).
- [3] Zivan Zabar, "Experimental Results and Performance Analysis of a 500 m/sec Linear Induction Launcher (LIL)," IEEE Trans. on Magnetics, Vol. 31, No. 1, pp 522-527, January 1995 (with X.N. Lu, E. Levi, L. Birenbaum, and J. Crendon.)

(부록) 마그네틱 벡터 포텐셜 구하기.

이 형태의 전동기의 마그네틱 벡터 포텐셜은 원통형의 마그네틱의 형태가 축방향으로 구성된 경우 식 A-1 과 같이 미분 방정식으로 구해 질 수 있다.

$$\frac{\partial^2 \bar{A}_{p,\phi}}{\partial r^2} + \frac{1}{r} \frac{\partial \bar{A}_{p,\phi}}{\partial r} - (\beta^2 + \frac{1}{r^2}) \bar{A}_{p,\phi} = -\mu \bar{j} + \mu \epsilon \frac{\partial^2 \bar{A}_{p,\phi}}{\partial t^2} \quad A-1$$

이 경우 경계 조건이 식 A-2 처럼 주어 지므로

$$\begin{aligned} \bar{H}_z(r_p^+) - \bar{H}_z(r_p^-) &= k_p \\ \bar{B}_z(r_p^+) &= \bar{B}_z(r_p^-) \\ \bar{B} &= \nabla \times \bar{A} \end{aligned} \quad A-2$$

이를 만족하는 마그네틱 벡터 포텐셜은 식 2-2의 형태이다.